

- 1) Le référentiel géocentrique admet pour point fixe **le centre de masse de la Terre** et a ses axes dirigés vers **trois étoiles lointaines**. Il est en translation par rapport au référentiel Héliocentrique.

Un référentiel galiléen est un référentiel dans lequel la **1^{ère} loi de Newton** (principe d'inertie) est vérifiée : Tout point matériel pseudo isolé est au repos ou possède un mouvement rectiligne uniforme.

- 2) Tous les plans contenant la droite OM sont des plans de symétrie pour la distribution de masse donc des plans de symétrie pour le champ $\vec{G}(M)$. Ainsi, $\vec{G}(M)$ appartient à tous ces plans $\rightarrow \vec{G}(M) = G(M) \vec{u}$

La distribution est à symétrie sphérique donc la norme du champ ne dépend que de r : $G(M) = G(r)$

D'après le théorème de Gauss gravitationnel appliqué sur une sphère de centre O et rayon r :

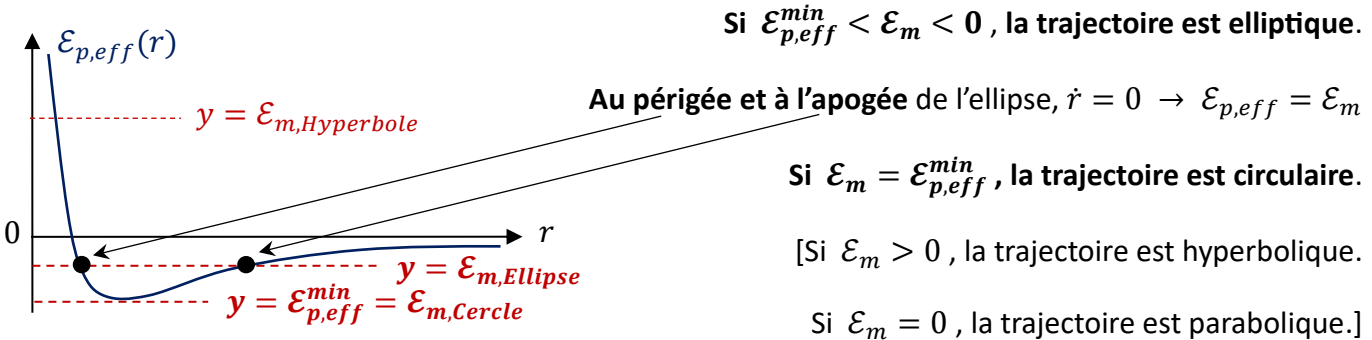
$$4\pi r^2 G(r) = -4\pi GM_T \rightarrow \vec{F}_g(M) = -\frac{GM_T m}{r^2} \vec{u}$$

- 3) On applique le T.M.C. à M en O . Seule \vec{F}_g s'applique et **son moment en O est nul** : $\vec{\mathcal{L}}_O(M) = \overrightarrow{cste}$

Or $\vec{\mathcal{L}}_O(M) = \overrightarrow{OM} \wedge m\vec{v}(M)$ donc \overrightarrow{OM} est orthogonal à un vecteur constant, le mouvement est plan.

- 4) Il existe $\mathcal{E}_p(M)$ telle que $\vec{F}_g(M) = -\overrightarrow{\text{grad}} \mathcal{E}_p$ avec $\mathcal{E}_p(r) = -\frac{GM_T m}{r}$

5-8) En notant $\frac{dr}{dt} = \dot{r}$ et $\frac{d\theta}{dt} = \dot{\theta}$, $\mathcal{E}_m = \mathcal{E}_p(r) + \frac{m}{2}(\dot{r}^2 + r^2\dot{\theta}^2) = -\frac{GM_T m}{r} + \frac{\mathcal{L}_0^2}{2mr^2} + \underbrace{\frac{m}{2}\dot{r}^2}_{\geq 0} \geq \mathcal{E}_{p,eff}(r)$



- 9) D'après la 2^{ème} loi de Newton appliquée au satellite sur sa trajectoire circulaire de vitesse v , $v^2 = \frac{GM_T}{R}$.

$$\mathcal{E}_{m,alt} = -\frac{GM_T m}{R} + \frac{m}{2}v^2 = -\frac{GM_T m}{R} + \frac{GM_T m}{2R} = -\frac{GM_T m}{2R}$$

- 10) Soit T , la période de rotation. On a $v^2 = \frac{4\pi^2 R^2}{T^2} \rightarrow \frac{R^3}{T^2} = \frac{GM_T}{4\pi^2}$

$$11) \text{ En } A \text{ et } P, \dot{r} = 0 \rightarrow \mathcal{E}_{m,tr} = -\frac{GM_T m}{R} + \frac{\mathcal{L}_0^2}{2mR^2} = -\frac{GM_T m}{R_c} + \frac{\mathcal{L}_0^2}{2mR_c^2}$$

$$\rightarrow \mathcal{E}_{m,tr} R^2 + GM_T m R = \mathcal{E}_{m,tr} R_c^2 + GM_T m R_c \rightarrow \mathcal{E}_{m,tr} = -\frac{GM_T m}{R + R_c}$$

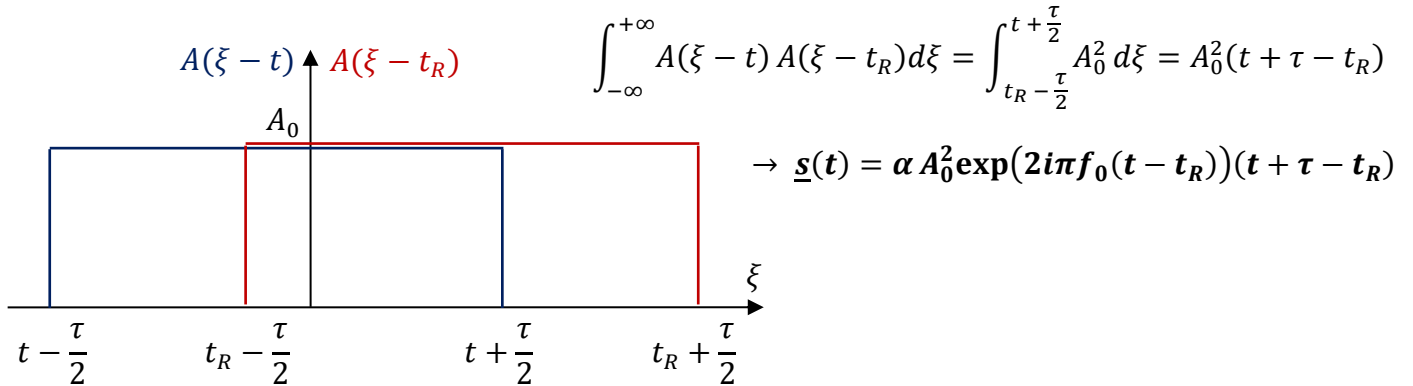
$$12) \Delta \mathcal{E}_m = -\frac{GM_T m(R - R_c)}{2(R + R_c)R} < 0$$

Cette opération nécessite un **freinage** du satellite.

$$13) \text{ Il faudra de nouveau } \mathbf{freiner} \text{ le satellite car } \mathcal{E}_{m,c} = -\frac{GM_T m}{2R_c} < \mathcal{E}_{m,tr} .$$

$$14-15) \underline{s}(t) = \int_{-\infty}^{+\infty} A(\xi - t) \exp(-2i\pi f_0(\xi - t)) \alpha A(\xi - t_R) \exp(2i\pi f_0(\xi - t_R)) d\xi$$

$$\rightarrow \underline{s}(t) = \alpha \exp(2i\pi f_0(t - t_R)) \int_{-\infty}^{+\infty} A(\xi - t) A(\xi - t_R) d\xi$$

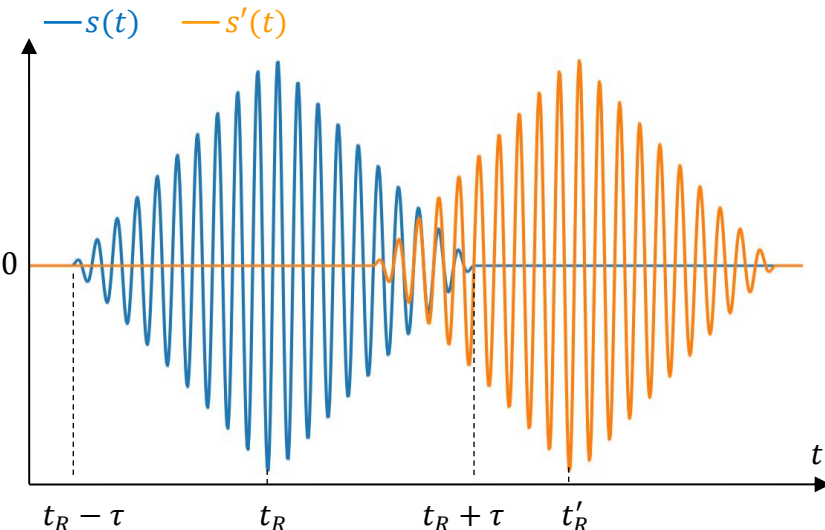


$$16-17) s(t) = \alpha A_0^2 \cos(2\pi f_0(t - t_R))(t + \tau - t_R) \quad \text{pour } t_R - \tau \leq t \leq t_R$$

$$\text{et } s(t) = \alpha A_0^2 \cos(2\pi f_0(t - t_R))(\tau + t_R - t) \quad \text{pour } t_R \leq t \leq t_R + \tau$$

$$s'(t) = \alpha A_0^2 \cos(2\pi f_0(t - t'_R))(t + \tau - t'_R) \quad \text{pour } t'_R - \tau \leq t \leq t'_R$$

$$\text{et } s'(t) = \alpha A_0^2 \cos(2\pi f_0(t - t'_R))(\tau + t'_R - t) \quad \text{pour } t'_R \leq t \leq t'_R + \tau$$



Les deux échos sont distingués si
 $t'_R - t_R \geq \tau \Leftrightarrow \frac{2\Delta d}{c} \geq \tau$

$$\Delta d_{min} = \frac{c\tau}{2} = 17 \text{ km}$$

C'est beaucoup trop grand, il faut trouver une autre méthode.

18) $f_e = f_0 + Kt$ $f_c = f_0$ et $B = K\tau$

19) Les deux échos sont distingués si $t'_R - t_R \geq \frac{1}{K\tau} = \frac{1}{B} \rightarrow \Delta d_{min} = \frac{c}{2B} = 47 \text{ cm}$ C'est bien mieux !

20) La direction de **propagation** est \vec{e}_z et la direction de **polarisation** est \vec{e}_x .

21) Si les charges sont **non relativistes**, la force magnétique est **négligeable** devant la force électrique car

$$\|\vec{F}_m\| \leq e\|\vec{v}\|\|\vec{B}\| \ll ec\|\vec{B}\| \sim e\|\vec{E}\| = \|\vec{F}_e\|$$

Car dans une onde électromagnétique, $\|\vec{E}\|$ n'est jamais trop éloigné de $c\|\vec{B}\|$.

22) $i\omega m_e \underline{\vec{v}_e} = -e\underline{\vec{E}} \rightarrow \underline{\vec{v}_e} = \frac{-e}{i\omega m_e} \underline{\vec{E}}$ et $i\omega m_c \underline{\vec{v}_c} = e\underline{\vec{E}} \rightarrow \underline{\vec{v}_c} = \frac{e}{i\omega m_c} \underline{\vec{E}}$

23) $\underline{\vec{j}} = ne \left(\underline{\vec{v}_c} - \underline{\vec{v}_e} \right) = \frac{ne^2}{i\omega} \left(\frac{1}{m_c} + \frac{1}{m_e} \right) \underline{\vec{E}} \sim \frac{ne^2}{i\omega m_e} \underline{\vec{E}} \rightarrow \omega_p = e \sqrt{\frac{n}{m_e \epsilon_0}}$

24) L'onde électromagnétique est **transverse** ($\vec{k} \cdot \vec{E} = 0$), $\operatorname{div} \vec{E} = 0 \rightarrow \rho = 0$

25) $-i\vec{k} \cdot \underline{\vec{E}} = 0 \quad -i\vec{k} \cdot \underline{\vec{B}} = 0 \quad -i\vec{k} \wedge \underline{\vec{E}} = -i\omega \underline{\vec{B}} \quad -i\vec{k} \wedge \underline{\vec{B}} = \mu_0 \gamma \underline{\vec{E}} + i \frac{\omega}{c^2} \underline{\vec{E}}$
 $-i\vec{k} \wedge (-i\vec{k} \wedge \underline{\vec{E}}) = k^2 \underline{\vec{E}} \Leftrightarrow -\omega \vec{k} \wedge \underline{\vec{B}} = k^2 \underline{\vec{E}} \Leftrightarrow -i\omega \mu_0 \gamma \underline{\vec{E}} + \frac{\omega^2}{c^2} \underline{\vec{E}} = k^2 \underline{\vec{E}} \rightarrow k^2 = \frac{\omega^2 - \omega_p^2}{c^2}$

26-27) Nous sommes en présence d'une onde **évanescante**, c'est-à-dire d'une onde stationnaire amortie.

$$k = -i \frac{\sqrt{\omega_p^2 - \omega^2}}{c} \quad \text{car ainsi, il y a bien amortissement selon l'axe } Oz \text{ vertical descendant.}$$

$$\vec{E} = E_0 \exp\left(-\frac{z - z_0}{\delta}\right) \cos(\omega t) \vec{e}_x \quad \text{Avec } \delta = \frac{c}{\sqrt{\omega_p^2 - \omega^2}}$$

D'après l'équation de Maxwell-Faraday, $\vec{B} = \frac{E_0}{\delta \omega} \exp\left(-\frac{z - z_0}{\delta}\right) \sin(\omega t) \vec{e}_y$

Le vecteur de Poynting $\vec{\Pi} = \frac{\vec{E} \wedge \vec{B}}{\mu_0}$ a une **valeur moyenne nulle** : Il n'y a pas de propagation de l'énergie.

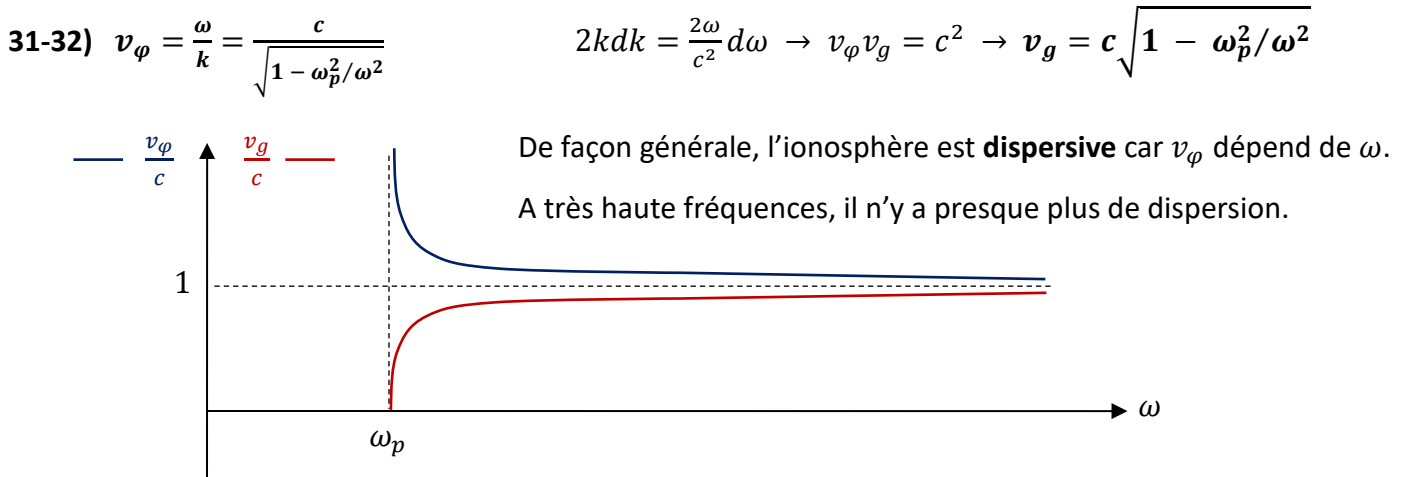
28-29) A présent, l'onde est **progressive**, $k = \frac{\sqrt{\omega^2 - \omega_p^2}}{c}$ car ainsi, il y a bien propagation selon l'axe Oz .

$$\vec{E} = E_0 \cos(\omega t - k(z - z_0)) \vec{e}_x \quad \vec{B} = \frac{k E_0}{\omega} \cos(\omega t - k(z - z_0)) \vec{e}_y$$

Pour la propagation, le plasma se comporte comme un filtre **passe-haut** de pulsation de coupure ω_p .

30) D'après la figure 9, $n_{max} = 10^{12} m^{-3} \rightarrow f_p^{max} = 9 \text{ MHz}$

Aux fréquences utilisées, la propagation est assurée. En choisissant $f_0 \gg f_p^{max}$, le signal est moins déformé car le phénomène de dispersion s'atténue à très haute fréquence (voir ci-dessous).



33) Les impulsions se déplacent à la vitesse de groupe : $\Delta t = \frac{2l}{c} \left(\frac{1}{\sqrt{1 - \omega_p^2/\omega_1^2}} - \frac{1}{\sqrt{1 - \omega_p^2/\omega_0^2}} \right) \sim \frac{l\omega_p^2(\omega_0^2 - \omega_1^2)}{c\omega_1^2\omega_0^2}$

34-35) $t_0 = \frac{2(d-l)}{c} + \frac{2l}{c\sqrt{1 - \omega_p^2/\omega_0^2}} \rightarrow d = \frac{ct_0}{2} + l \left(1 - \frac{1}{\sqrt{1 - \omega_p^2/\omega_0^2}} \right) \sim \frac{ct_0}{2} - \frac{l\omega_p^2}{2\omega_0^2} \rightarrow \epsilon = \frac{c\Delta t \omega_1^2}{2(\omega_0^2 - \omega_1^2)} = \frac{lne^2}{2\omega_0^2 m_e \epsilon_0}$

$\rightarrow \epsilon = 5,4 \text{ cm}$

Cela peut sembler dérisoire mais vue la précision exigée par l'enjeu de l'étude, l'erreur doit être corrigée.

36) D'après la relation de passage en $x = 0$, $E_0 \exp(i\omega t) \vec{e}_z + E'_{0y} \exp(i\omega t) \vec{e}_y + E'_{0z} \exp(i\omega t) \vec{e}_z = \vec{0} \quad \forall t$

$$\rightarrow E'_{0y} = 0 \quad \text{et} \quad E'_{0z} = -E_0 \quad \rightarrow \underline{\vec{E}_r(M, t)} = -E_0 \exp(i(\omega t + kx)) \vec{e}_z$$

37) $\underline{\vec{B}_i}(M, t) = \frac{\vec{e}_x \wedge \vec{E}_i}{c} = -\frac{E_0}{c} \exp(i(\omega t - kx)) \vec{e}_y \quad \text{et} \quad \underline{\vec{B}_r}(M, t) = -\frac{\vec{e}_x \wedge \vec{E}_r}{c} = -\frac{E_0}{c} \exp(i(\omega t + kx)) \vec{e}_y$

Ainsi, $\underline{\vec{B}}(x = 0^-, t) = -\frac{2E_0}{c} \exp(i\omega t) \vec{e}_y \rightarrow \underline{\vec{J}_s(t)} = \frac{2E_0}{\mu_0 c} \exp(i\omega t) \vec{e}_z \rightarrow \underline{\vec{J}_s(t)} = \frac{2E_0}{\mu_0 c} \cos(\omega t) \vec{e}_z$

38) $\delta \vec{F}_L = ady \vec{J}_s(t) \wedge \vec{B}_i(x = 0^-, t) \rightarrow \vec{F}_L = a^2 \vec{J}_s(t) \wedge \vec{B}_i(x = 0^-, t)$

39-40) $\vec{F}_L = \frac{2a^2 E_0^2}{\mu_0 c^2} \cos^2(\omega t) \vec{e}_x \rightarrow P_m = \frac{E_0^2}{\mu_0 c^2} = \frac{2I}{c} \quad \text{Car } I = \langle \|\vec{\Pi}_i\| \rangle = \langle \left\| \frac{\vec{e}_i \wedge \vec{B}_i}{\mu_0} \right\| \rangle = \frac{E_0^2}{2\mu_0 c}$

D'après la 2^{ème} loi de Newton, $P_m S = \frac{mg}{10^3} \rightarrow S = \frac{mgc}{2.10^3 I} = 3.10^6 \text{ m}^2 = 300 \text{ ha} \sim 400 \text{ terrains de foot !}$

C'est énorme ! Cela soulève de grandes difficultés pour le déploiement et le contrôle d'orientation.

$$41) \quad \vec{r}(M) = r\vec{e}_r \quad \vec{v}(M) = \dot{r}\vec{e}_r + r\dot{\theta}\vec{e}_\theta \quad \vec{a}(M) = (\ddot{r} - r\dot{\theta}^2)\vec{e}_r + (2\dot{r}\dot{\theta} + r\ddot{\theta})\vec{e}_\theta$$

42) La résultante des forces est composée de la force gravitationnelle (Q2) $\vec{F}_g = -\frac{GM_T m}{r^2}\vec{e}_r$ et de \vec{F}_p .

Ainsi, $F_r = -\frac{GM_T m}{r^2} + L(r, \theta)P_m S \cos^2(\varphi) \cos(\varphi - \theta)$ et $F_\theta = L(r, \theta)P_m S \cos^2(\varphi) \sin(\varphi - \theta)$

43) D'après la 2^{ème} loi de Newton, $m(\ddot{r} - r\dot{\theta}^2) = F_r$ et $m(2\dot{r}\dot{\theta} + r\ddot{\theta}) = F_\theta$.

Et en effet, puisque $\dot{r} = v_r$ et $\dot{\theta} = \frac{v_\theta}{r} \rightarrow \dot{v}_r = \frac{F_r}{m} + \frac{v_\theta^2}{r}$ et $\dot{v}_\theta = \dot{r}\dot{\theta} + r\ddot{\theta} = \frac{F_\theta}{m} - \dot{r}\dot{\theta} = \frac{F_\theta}{m} - \frac{v_r v_\theta}{r}$

44) La seule énergie potentielle prise en compte dans \mathcal{E}_m est gravitationnelle : $\mathcal{E}_m = \frac{m}{2}(v_r^2 + v_\theta^2) - \frac{GM_T m}{r}$

$$45) \quad \frac{d\mathcal{E}_m}{dt} = \vec{F}_p \cdot \vec{v} = \underbrace{P_m S}_{K_m} L(r, \theta) \cos^2(\varphi) (v_r \cos(\varphi - \theta) + v_\theta \sin(\varphi - \theta))$$

46-49) Instruction 1 $T = \text{np.arange}(0, t_{max}, dt)$ $n = \left\lceil \frac{t_{max}}{dt} \right\rceil$

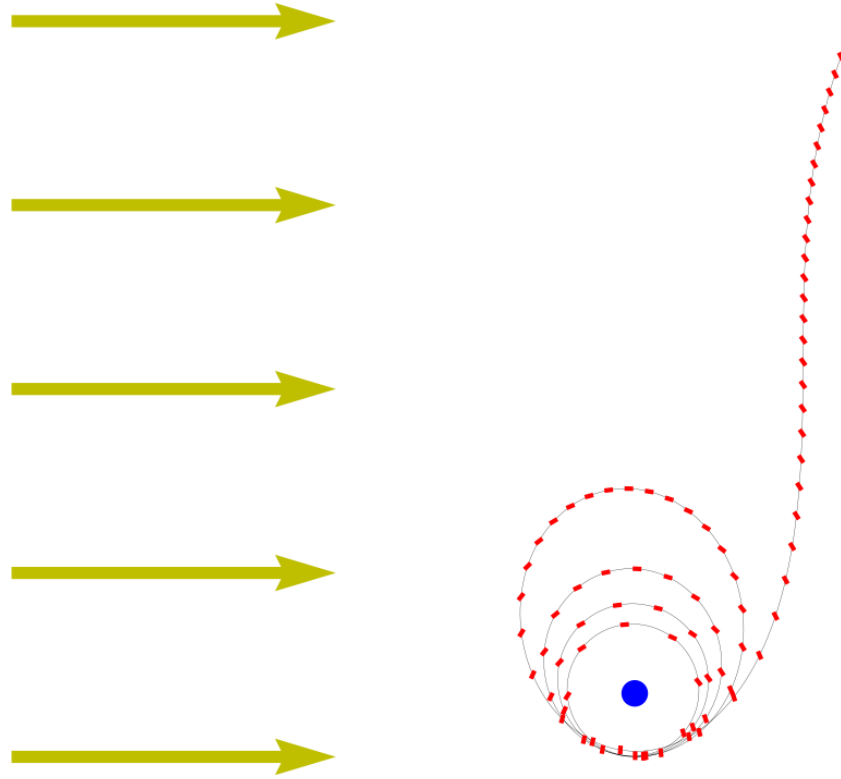
```
N=np.ceil(np.pi/4e-3) #Le pas de progression de phi est 4e-3 radian
N=N.astype(int) #Transformation en entier pour le module linspace
def recherche_phi_optimal(vr,vth,theta):
    liste_phi=np.linspace(-np.pi/2,np.pi/2,N)
    dEm=np.cos(liste_phi)**2*(vr*np.cos(liste_phi-theta)+vth*np.sin(liste_phi-theta))
    x=liste_phi[0]
    y=dEm[0]
    for i in range(1,786):
        if y<dEm[i]:
            y=dEm[i]
            x=liste_phi[i]
    return x
```

La fonction détermine l'angle φ optimal avec l'intervalle de confiance $\pm 2.10^{-3} \text{ rad}$.

```
def derivees_comp_vitesse(r,theta,vr,vth,phi):
    if abs(r*np.sin(theta))<RT and np.cos(theta)>0:
        x=-G*MT/r**2+vth**2/r
        y=-vr*vth/r
    else:
        x=-G*MT/r**2+Km*np.cos(phi)**2*np.cos(phi-theta)/m+vth**2/r
        y=Km*np.cos(phi)**2*np.sin(phi-theta)/m-vr*vth/r
    return x,y
```

Instruction 2

```
theta+=vth*dt/r #ordonner les instructions afin d'effectuer du 100% explicite
r+=vr*dt
vr+=vr_pt*dt
vth+=vth_pt*dt
```



50) Dans la situation $x \sim 0$ et $y > 0$, le vaisseau se dirige vers le Soleil, le rayonnement est de face ! Pour éviter tout freinage, il faut aligner la voile dans le sens du déplacement pour que **l'incidence soit rasante** ($\alpha = 0, \varphi = \frac{\pi}{2}$).

51) La vitesse v_{lib} est la vitesse minimale permettant de se libérer de l'attraction terrestre dans le cadre d'étude d'un système conservatif. Or l'état libre correspond à une énergie mécanique positive ou nulle donc

$$\mathcal{E}_m = \frac{m}{2} v^2(r) - \frac{GM_T m}{r} \geq 0 \rightarrow v_{lib}(r) = \sqrt{\frac{2GM_T}{r}}$$

$$\mathbf{52)} \quad \mathcal{E}_m = \frac{m}{2} v^2(r) - \frac{m}{2} v_{lib}^2(r) < 0 \rightarrow \frac{v}{v_{lib}} = \sqrt{1 + \frac{\mathcal{E}_m r}{GM_T m}} = \sqrt{1 - \frac{|\mathcal{E}_m| r}{GM_T m}} < 1$$

A $\mathcal{E}_m = cste$, ce rapport oscille, il est maximal au périgée (r minimal) et minimal à l'apogée (r maximal).

Avec la voile on assiste à une augmentation de \mathcal{E}_m ($|\mathcal{E}_m| \searrow$), ce qui rend à coup sûr le rapport $\frac{v}{v_{lib}}$ de plus en plus grand au « périgée » ($r_{min} \sim cste$). Par contre, il n'est pas facile de prévoir que le rapport $\frac{v}{v_{lib}}$ est de plus en plus petit à « l'apogée » : l'augmentation de r_{max} semble l'emporter.